

برآورد ضریب آبگذری از داده‌های مقاومت ویژه الکتریکی در دشت تهران

محمد کاظم حفیظی* و فاطمه زهرا پاشاخانلو**

* مؤسسه ریوفیزیک دانشگاه تهران، صندوق پستی ۶۴۶۶-۱۴۱۵۵

** وزارت ارتباطات و فناوری اطلاعات

(دریافت: ۱۳۹۳۰، پذیرش نهایی: ۱۳۹۲۹)

چکیده

اندازه‌گیری ضرائب هیدرولیکی و از آن جمله ضریب آبگذری، به منظور تعیین آبدهی چاه حفاری، مورد نیاز بهره‌برداران منابع آب زیرزمینی است و هزینه بسیاری در بر دارد. در این پژوهش روشی ارائه شده است که با سوندایزرنی الکتریکی بتوان ضرائب هیدرولیکی را با داشتن مقاومت ویژه الکتریکی آبخوان و تعیین هدایت ویژه الکتریکی آب زیرزمینی محل مورد بررسی، تعیین کرد. تعداد ۱۴ چاه با آزمایش پمپاژ مربوطه همراه با همین تعداد سوندایزرنیک که با آزمایش پمپاژ همزمان بوده‌اند، در این پژوهش مورد استفاده قرار گرفته‌اند. ضریب آبگذری و ضریب قابلیت انتقال با فاکتور سازند، مقاومت ویژه الکتریکی هنجار شده و مقاومت عرضی الکتریکی هنجار شده آبخوان دشت تهران رابطه‌ای خطی دارد و ضریب همبستگی آن نزدیک به یک است.

واژه‌های کلیدی: ضریب آبگذری، مقاومت ویژه الکتریکی، فاکتور سازند، ضریب قابلیت انتقال، مقاومت عرضی الکتریکی، آبخوان دشت تهران

۱ مقدمه

قابلیت انتقال را با مقاومت عرضی الکتریکی آبخوان مورد بررسی قرار داده است. یاداو و ابوالفضلی (۱۹۹۸) ارتباط پارامترهای هیدرولیکی را در نواحی نیمه‌خشک جالور (Jalore) با سوندایزرنی الکتریکی تعیین کرده‌اند. در مقاله حاضر از روی مقاومت ویژه الکتریکی به دست آمده از مطالعات ژئوالکتریکی در دشت تهران ضریب آبگذری و ضریب قابلیت انتقال آبخوان برآورد می‌شود.

۲ موقعیت جغرافیایی منطقه مورد مطالعه
گستره مورد مطالعه شامل دشت تهران است و در محدوده عرض‌های ۳۵ درجه و ۲۸ دقیقه تا ۳۵ دقیقه و ۴۹ دقیقه شمالی و طول‌های ۵۱ درجه و ۱۵ دقیقه تا ۵۱ درجه و ۳۶ دقیقه شرقی واقع شده است که قسمت اعظم آن را شهر تهران فرا گرفته. سطح این دشت بالغ بر ۶۰۰ کیلومتر مربع است و از شمال به بخش جنوبی ارتفاعات البرز، از شرق به تپه‌های هزاردره، کوه‌های سه پایه و رودخانه

آب‌های زیرزمینی یکی از مهم‌ترین منابع تأمین آب شیرین مورد نیاز انسان‌ها هستند و بعد از یخچال‌ها، بزرگ‌ترین ذخیره آب شیرین کره زمین را تشکیل می‌دهند. برای بهره‌برداری از این منابع، تعیین خصوصیات لایه آبدار لازم است. با حفر چند چاه پیزومتری (piezometer) و به انجام رساندن آزمایش‌هایی موسوم به آزمایش پمپاژ روی آنها می‌توان به ضرایب هیدرولیکی دسترسی پیدا کرد. ولی برای این کار لازم است تا گروه‌های مطالعاتی را با صرف وقت و هزینه بسیار زیاد به کار گرفت.

حال اگر از نتیجه تعداد محدودی آزمایش پمپاژ که محل آنها به طور مناسب انتخاب شده است، استفاده کنیم، آن‌گاه می‌توان مقدار این ضرایب را برای نقاط بی‌شماری از آبخوان محاسبه و از صرف وقت و هزینه شدن مبالغ هنگفت جلوگیری کرد. برای نیل به این هدف از ارتباط بین مقاومت ویژه الکتریکی و ضرایب هیدرولیکی استفاده شده است. هنرمند ابراهیمی (۱۳۶۰) تغییرات ضریب

جريان $AB=2000$ متر و ۱۱ سونداز با $AB=4000$ متر، روی ۲۴ پروفیل اندازه‌گیری شد. تعداد ۲۳ پروفیل دارای امتداد شمال شرقی-جنوب غربی و یک پروفیل (P') دارای امتداد شمالی-جنوبی است.

۶ جمع‌آوری اطلاعات مورد نیاز

در منطقه مورد مطالعه از اطلاعات مربوط به ۱۴ گمانه‌کتریکی که در نزدیکی هر یک از آنها آزمایش پمپاژ صورت گرفته بود، استفاده شده است.

ضمن این کار علاوه بر اطلاعات صحرایی مربوط به سوندازهای ژئوالکتریکی، نتایج مربوط به آزمایش پمپاژ (ضرائب هیدرولیکی) اطلاعات دیگری از جمله عمق چاه‌های مشاهده‌ای و همچنین سطح برخورد به آب (سطح ایستابی) و هدایت ویژه الکتریکی نمونه آب هر یک از چاه‌ها نیز بدست آمد. جدول ۱ محل هریک از چاه‌های اندازه‌گیری در دشت تهران را به همراه اطلاعات مربوط به سطح ایستابی، عمق و سونداز مجاور هر چاه نشان می‌دهد.

۷ تعیین ضریب آبگذری (K)

رابطه ضریب آبگذری با ضریب قابلیت انتقال و همچنین ضخامت لایه آبدار به صورت زیر معرفی می‌شود (باور، ۱۹۷۸).

$$T = K \cdot D \quad (1)$$

که در آن K هدایت هیدرولیکی بر حسب متر بر روز، D ضخامت لایه آبدار بر حسب متر و T ضریب قابلیت انتقال لایه آبدار بر حسب متر مربع بر روز است. با در اختیار داشتن ضخامت لایه‌های آبدار حاصل از تفسیر داده‌های ژئوالکتریک و تعیین مقادیر مربوط به ضریب قابلیت انتقال (T) با آزمایش پمپاژ (اداره کل آب‌های زیرزمینی، ۱۳۶۳) می‌توان مقادیر مربوط به ضریب آبگذری (K) در هریک از چاه‌های اندازه‌گیری را به دست آورد (جدول ۲).

سرخه‌حصار، از غرب به رودخانه کن و از جنوب به کوه‌های بی‌بی شهربانو و دامنه شمالي ارتفاعات کهریزک محدود می‌شود (شکل ۱).

۳ زمین‌شناسی عمومی منطقه

بر بریان و همکاران (۱۳۶۴)، زمین‌شناسی این ناحیه را به طور مفصل بیان کرده‌اند. گستره مورد مطالعه متشکل از نهشته‌های آبرفتی حاصل از فعالیت رودخانه‌ها و سیالب‌های فصلی جریان یافته از کوه‌های البرز و یخرفتی حاصل از عملکرد یخچال‌های دامنه جنوبی بلند البرز است. این نهشته‌ها در پای کوه البرز و در محدوده وسیعی از شرق تا غرب شناسایی شده‌اند (ریبن، ۱۹۶۶). در نخستین مطالعات ریبن در سال ۱۹۵۵ چهار واحد چینه‌شناسی معرفی و به ترتیب از قدیم به جدید با عنوان A (سازند آبرفتی هزار دره)، B (سازند آبرفتی کهریزک)، C (سازند آبرفتی تهران) و D (آبرفت‌های کنونی) نامگذاری شدند.

۴ هیدروژئولوژی منطقه

بر اساس گزارش شماره ۱۰۷۱۰۴-۳۱۲۰ سازمان آب منطقه‌ای تهران (۱۳۷۸) آبخوان این ناحیه از نوع آزاد است و فقط در بخش‌های جنوبی امکان تشکیل سفره‌های تحت فشار محدود وجود دارد. مواد تشکیل دهنده آبخوان از قطعات ریز و درشت منفصل رسوبی تشکیل شده و اندازه آنها در بخش‌های شمالی درشت‌تر و تا حدودی زاویه‌دار است و به سمت نواحی میانی و خروجی دشت از قطر ذرات آن کاسته می‌شود.

۵ مطالعات ژئوالکتریک صورت گرفته در منطقه

مطالعات ژئوالکتریک دشت تهران-کرج را واحد مهندسی آب و خاک جهاد سازندگی (کمیته امور آب) در سال ۱۳۶۴ عملی ساخت (مهدویان، ۱۳۶۴). طی این مطالعات جمیعاً ۳۵۸ سونداز با طول حداقل فرستنده

۱۰ ارتباط بین ضریب آبگذری و فاکتور سازند برای تعیین ارتباط بین ضریب آبگذری (K) و فاکتور سازند (F) آبخوان با استفاده از اطلاعات موجود در جدول ۲ می‌توانیم مقادیر ضریب آبگذری و فاکتور سازند را برای هریک از نمونه‌ها مشخص کرده و نمودار K (محور قائم) بر حسب F (محور افقی) را رسم نماییم. همان‌گونه که در شکل ۲ هم کاملاً مشخص است در رابطه بازگشتی به دست آمده ضریب تبیینی (correlation coefficient) r^2 با مقدار نزدیک به یک، معروف آن است که خط تا حد زیادی بر نقاط مربوط به داده‌ها منطبق است. معادلات برازش داده شده به ترتیب زیاد بودن ضریب تبیینی از معادلات توانی و لگاریتمی پیچیده به دست آمده و با توجه به تفاوت ناچیزی که ضریب تبیینی آنها با رابطه خطی (حدود ۰/۰۱) داشته‌اند، لذا ترجیحاً رابطه خطی انتخاب و معادله حاصل به صورت زیر ارائه می‌شود:

$$K = 5.3F - 0.4 \quad (4)$$

همان‌طور که در نمودار شکل ۲ مشاهده می‌شود برای مقادیر فاکتور سازند با میزان کمتر از ۲/۵، نقاط انطباق بهتری را با خط یاد شده نشان می‌دهند. پراکندگی بعضی نقاط در فاکتور سازند بیشتر از ۲/۵، ممکن است نشان‌دهنده این باشد که اندازه‌گیری K در آبرفت دانه درشت، دارای خطای بیشتری، است.

۱۱ ارتباط ضریب آبگذری و مقاومت ویژه الکتریکی هنجار شده

همان‌طور که در جدول ۲ نیز اشاره شد، میزان مقاومت ویژه الکتریکی هنجار شده' ρ' (یاداو و ابوالفضلی، ۱۹۹۸) از رابطه:

$$\rho' = \frac{\rho}{\rho_w} \cdot \bar{\rho}_w \quad (5)$$

به دست می‌آید که در آن:

$$\bar{\rho}_w = \frac{\rho_{w1} + \rho_{w2} + \dots + \rho_{w14}}{14}$$

۸ تعیین مقاومت ویژه الکتریکی نمونه‌های آب (ρ_w) از آنجا که مقاومت ویژه الکتریکی همواره با رسانایی ویژه الکتریکی رابطه معکوس دارد، لذا با وجود اطلاعات مربوط به رسانایی ویژه الکتریکی نمونه‌های متفاوت آب در هریک از چاههای مشاهده‌ای (سازمان آب منطقه‌ای تهران، گزارش شماره ۲۸/۴۱۲) می‌توانیم مقاومت ویژه الکتریکی هر کدام از نمونه‌ها را به دست آوریم (جدول ۲). ارتباط بین رسانایی ویژه الکتریکی و مقاومت ویژه الکتریکی به صورت زیر برقرار است:

$$\rho_w = \frac{1}{\sigma} \times 10^4 \quad (2)$$

که در آن:

$$\sigma = \text{رسانایی ویژه الکتریکی نمونه آب } \mu\text{mohos.cm}^{-1} \text{ است.}$$

$$\rho_w = \text{مقاومت ویژه الکتریکی نمونه آب } \Omega \cdot \text{m}.$$

۹ تعیین فاکتور سازند (F)

فاکتور سازند پارامتری است که نسبت مقاومت ویژه الکتریکی سازند متخلفل به مقاومت ویژه الکتریکی سیال داخل آن را بیان می‌کند (موحد، ۱۳۷۸). به عبارت دیگر می‌توان گفت که مقاومت ویژه الکتریکی یک سازند آبدار با مقاومت ویژه الکتریکی آب داخل آن سازند متناسب است و در این رابطه، ثابت تناسب، فاکتور سازند نامیده می‌شود (باور، ۱۹۷۸).

$$F = \frac{\rho}{\rho_w} \quad (3)$$

با در اختیار داشتن مقاومت ویژه الکتریکی لایه آبدار حاصل از تفسیر سوندایر الکتریکی (ρ)، همچنین مقاومت ویژه الکتریکی نمونه آب (ρ_w)، می‌توانیم مطابق جدول ۲ فاکتور سازند را برای هریک از نمونه‌ها مشخص کنیم.

جدول ۱. مشخصات و موقعیت چاههای حفر شده همراه با اطلاعات سطح ایستابی، عمق حفاری و موقعیت سونداز الکتریک.

ردیف	عمق چاه (m)	سطح ایستابی (m)	عرض جغرافیایی (m)	طول جغرافیایی	موقعیت	سونداز	گمانه
۱	۷۳/۵	۲۰/۷۷	-	-	جاده ساره	6P'	36R-67
۲	۲۰۰	۷۹/۴	-	-	برق آلتوم	22J	37P-12
۳	۷۲	۴۶	۲۵° ۳۱'	۵۱° ۱۱'	سلطان آباد	8M	T04
۴	۱۳۰	۳۶/۶۷	-	-	حسین آباد مفرح	16M	36S-3
۵	۸۵	۱۸/۸۶	-	-	قلعه مرغی	18M	37R-45
۶	۴۳	۱۸	۲۵° ۳۳'	۵۱° ۱۶'	ده عباس	15N	T09
۷	۱۰۰	۱۱/۰۱	۲۵° ۳۴'	۵۱° ۱۹'	مراد آباد	17N	37S-48
۸	۱۰۵	۸/۵۸	-	-	دو قویه پایین	10V	38V-6
۹	۴۱	۱۵	۲۵° ۳۳'	۵۱° ۱۹'	خیر آباد	14S	T045
۱۰	۱۱۰	۱۰	۲۵° ۳۵'	۵۱° ۲۶'	قلعه گیری	16S	39S-11
۱۱	۸۶	۶۱	۲۵° ۲۷'	۵۱° ۰۶'	شترخوار	3L	T02
۱۲	۶۱	۳۶	۲۵° ۳۳'	۵۱° ۱۲'	چیچکلر	15L	T028
۱۳	۶۰	۲۵	۲۵° ۴۰'	۵۱° ۱۱'	سعید آباد	9I	T017
۱۴	۸۳	۵۸	-	-	بیمارستان شماره ۲	11I	T032

جدول ۲. به ترتیب از سمت چپ، مشخصات چاه گمانه، شماره سونداز، مقاومت ویژه الکتریکی لایه آبدار (ρ)، ضخامت لایه آبدار (D)، هدایت ویژه الکتریکی آب (ρ_w)، مقاومت ویژه الکتریکی آب (Z'), ضربی آبگذری (K)، فاکتور سازند (F)، مقاومت ویژه هنجار شده (ρ') و مقاومت عرضی هنجار شده لایه آبدار (Z') دیده می شود. مقاومت ویژه الکتریکی متوسط سیال، $\Omega \cdot m = ۱۳/۴۵$ است.

ردیف	$Z' = D\rho' / \Omega m^2$	$\rho' = F \bar{\rho}_w / \Omega m$	F = $\frac{\rho}{\rho_w}$	K=T/D m.day ⁻¹	$\bar{\rho}_w / \Omega m$	D (m)	$\sigma_{\mu\text{mhos.cm}^{-1}}$	ρ	$T \text{ m}^2 \cdot \text{day}^{-1}$	سونداز	گمانه
۱	۳۰۲۲/۳۰	۱۷/۴۹	۱/۳۰	۸/۰۶	۱۸/۵۲	۱۷۵/۰۹	۵۴۰	۲۴/۰۳	۱۴۱۰	6P'	36R-67
۲	۶۴۰۱/۸۰	۷۸/۸۲	۵/۸۶	۳۱/۷۷	۲۵/۶۵	۸۱/۲۲	۳۹۰	۱۵۰/۲۰	۲۵۸۰	22J	37P-12
۳	۶۰۲۶/۶۹	۵/۶۵	۰/۴۲	۲/۸۲	۱۰/۱۶	۱۰۷/۷۷	۶۶۰	۶/۲۴	۳۰۰	8M	T04
۴	۳۵۳۸/۷۰	۱۶/۴۱	۱/۲۲	۵/۸۵	۱۱/۷۷	۲۱۵/۶۴	۸۰۰	۱۴/۲۹	۱۲۶۰	16M	36S-3
۵	۳۱۸۸/۶۰	۱۳/۹۹	۱/۰۴	۵/۰۹	۱۳/۷۰	۲۲۷/۹۲	۷۳۰	۱۴/۲۳	۱۱۶۰	18M	37R-45
۶	۸۷۹/۱۲	۱۲/۱۹	۰/۹۸	۵/۱۱	۱۴/۹۳	۶۶/۶۵	۶۷۰	۱۴/۰۹	۳۴۰	15N	T09
۷	۱۰۵۱/۱۰	۱۸/۷۰	۱/۳۹	۷/۹۴	۱۱/۰۵	۵۷/۲۱	۸۷۰	۱۵/۰۸	۲۹۰	17N	37S-48
۸	۶۴۲/۸۵	۲۸/۵۲	۱۰/۲۱	۲/۸۶	۲/۸۶	۲۲/۵۴	۳۵۰۰	۷/۰۵	۲۳۰	10V	38V-6
۹	۱۴۴۴/۶۰	۳۶/۵۹	۲/۷۲	۹/۳۸	۷/۲۵	۳۹/۴۸	۱۶۰۰	۱۷/۹۴	۳۷۰	14S	T045
۱۰	۱۸۴۹	۵۰/۰۴	۱۷/۶	۷/۴۱	۷/۴۱	۲۷/۵۶	۱۳۵۰	۲۷/۰۶	۶۵۰	16S	39S-11
۱۱	۸۰۷/۲۰	۱۰/۰۹	۰/۷۵	۴/۳۸	۸/۷۰	۱۱۵۰	۸۰	۷/۴۵	۳۵۰	3L	T02
۱۲	۸۲۲/۱۷	۲۳/۱۴	۱/۷۲	۹/۰۱	۱۷/۲۵	۳۵/۵۳	۵۸۰	۲۹/۰۲	۳۲۰	15L	T028
۱۳	۲۰۴۲/۱۰	۲۹/۱۹	۲/۱۷	۱۰/۰۸	۱۷/۴۰	۶۹/۹۶	۶۱۰	۳۵/۰۵	۷۴۰	9I	T017
۱۴	۴۲۱/۵۰	۵۳/۶۷	۲۴/۲۲	۱۸/۱۹	۱۸/۱۹	۷۸/۴۷	۵۵۰	۷۲/۰۳	۱۹۰۰	11I	T032

ضریب قابلیت انتقال و مقاومت عرضی الکتریکی آبخوان، هنجار کردن مقاومت عرضی الکتریکی آبخوان، و حذف اثر مقاومت ویژه الکتریکی آب لازم است.

۱۳ ارتباط بین ضرب آبگذری و مقاومت عرضی الکتریکی هنجار شده آبخوان

برای ۱۴ نقطه‌ای که در آن نقاط، آزمایش‌های پمپاژ صورت گرفته بود، مقاومت عرضی الکتریکی هنجار شده آبخوان $Z' = D\rho'$ محاسبه شده و مقادیر مربوط به هر یک از نمونه‌ها در جدول ۲ مشخص شده است. همان‌طور که در جدول یاد شده نیز دیده می‌شود، میزان مقاومت عرضی الکتریکی هنجار شده نمونه‌ها با داشتن ضخامت آبخوان و مقاومت ویژه الکتریکی هنجار شده آن به دست می‌آید که در آن $\rho' = \frac{\rho}{\rho_w}$ است.

نمودار ترسیم شده در شکل ۴ ضرب آبگذری قابلیت انتقال T (محور قائم) بر حسب Z' (محور افقی) به خوبی رابطه‌ای خطی بین این دو پارامتر را نشان می‌دهد. معادله نتیجه شده به صورت:

$$T = 0.4Z' - 45.62 \quad (9)$$

ضریب تبیینی (r^2) برای این معادله 0.97 محسوبه شده است که نزدیکی آن به عدد یک بسیار قابل توجه است و انطباق بسیار خوب داده‌ها با نمودار ترسیم شده را نشان می‌دهد.

۱۴ نتیجه‌گیری

در دشت تهران، بدون به انجام رساندن آزمایش پمپاژ می‌توان پارامترهای هیدرولیکی را با سوندایزنی الکتریکی برآورد کرد. رابطه ضرب آبگذری با فاکتور سازند، ضرب آبگذری با مقاومت ویژه الکتریکی هنجار شده، ضرب آبگذری انتقال با مقاومت عرضی الکتریکی هنجار شده آبخوان دشت تهران رابطه‌ای خطی بوده است.

متوسط مقاومت ویژه الکتریکی آب $13/45$ اهم متر است و با داشتن فاکتور سازند، مقدار مقاومت ویژه الکتریکی هنجار شده ρ' به دست می‌آید (جدول ۲)، ارتباط بین ضرب آبگذری و مقاومت ویژه الکتریکی هنجار شده، یعنی رابطه بین پارامترهای K و ρ' ، در شکل ۳ نشان داده شده است.

نمودار یاد شده (نمودار K بر حسب ρ') که براساس نتایج حاصل از جدول ۲ ترسیم شده، رابطه خطی بین این دو پارامتر را نشان می‌دهد که با نقاط مربوط به داده‌ها، به ویژه برای مقادیر ρ' کمتر از 40 اهم متر انطباق خوبی دارد.

رابطه به دست آمده به صورت:

$$K = 0.4\rho' - 0.4 \quad (6)$$

است و مطابق شکل ۳ میزان ضرب تبیینی (r^2) برای آن حدود 0.95 محسوبه شده است.

۱۲ مقاومت عرضی الکتریکی آبخوان

مقاومت عرضی الکتریکی آبخوان را می‌توانیم از حاصل ضرب مقاومت ویژه الکتریکی لایه در ضخامت آن به دست آورد که در آن:

$$Z = \rho \cdot D \quad (7)$$

مقادیر Z مقاومت عرضی الکتریکی آبخوان بر حسب اهم متر ρ ، مقاومت ویژه الکتریکی آبخوان بر حسب اهم متر D و ضخامت آبخوان بر حسب متر است.

از تلفیق دو معادله (۱) و (۷) و با حذف D یا ضخامت

آبخوان نتیجه می‌شود:

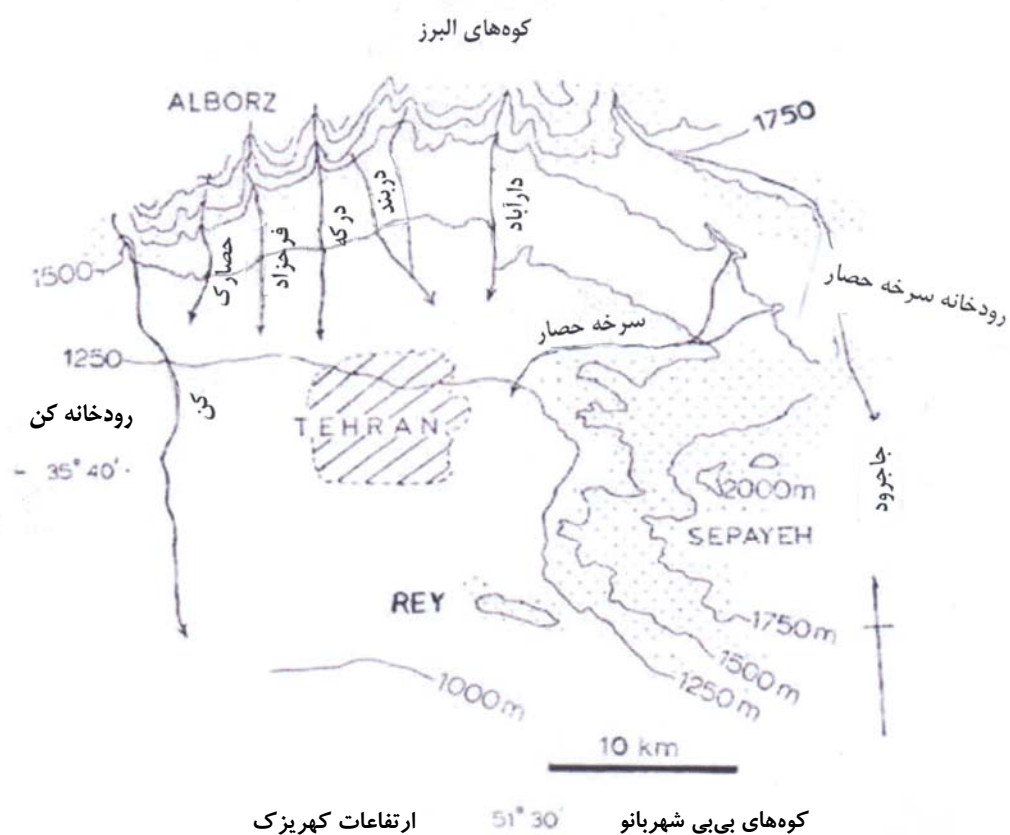
$$Z = T \left(\frac{\rho}{K} \right) \quad (8)$$

عامل $\left(\frac{\rho}{K} \right)$ در معادله فوق برای هر نقطه معین مورد مطالعه، مختص آن نقطه به خصوص است و نمی‌توان آن را برای نواحی دیگر به کار برد. برای برقراری ارتباط بین

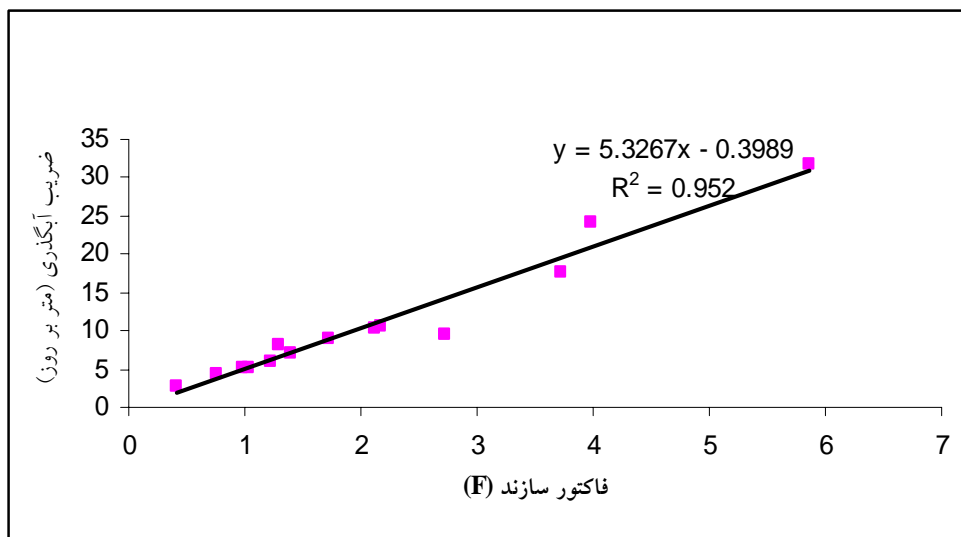
تشکر و قدردانی

کارشناس بخش اکتشافات مؤسسه ژئوفیزیک و آقای شمشیری از مهندسین مشاور مهاب قدس و کارشناسان دفتر مرکزی جهاد سازندگی (واحد مهندسی آب و خاک) برای تسهیل در دسترسی به داده‌ها تشکر و قدردانی به عمل می‌آید.

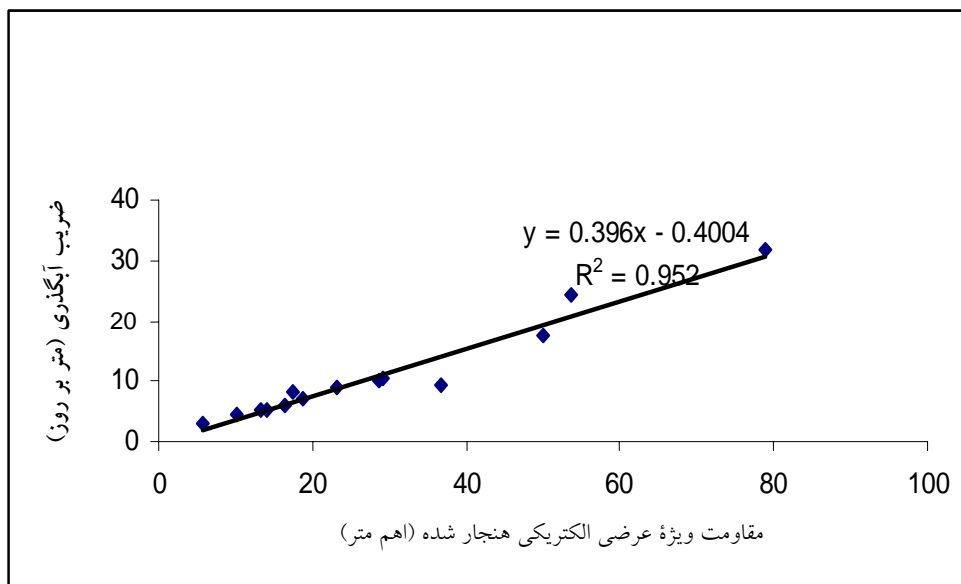
بخشی از بودجه این پژوهش از محل طرح پژوهشی شماره ۶۵۲/۲/۸۸۷ دانشگاه تهران تأمین شده است، که بدین‌وسیله از معاونت پژوهشی وقت دانشگاه تهران قدردانی می‌شود. همچنین از آقای حبیب علیزاده ذکریا



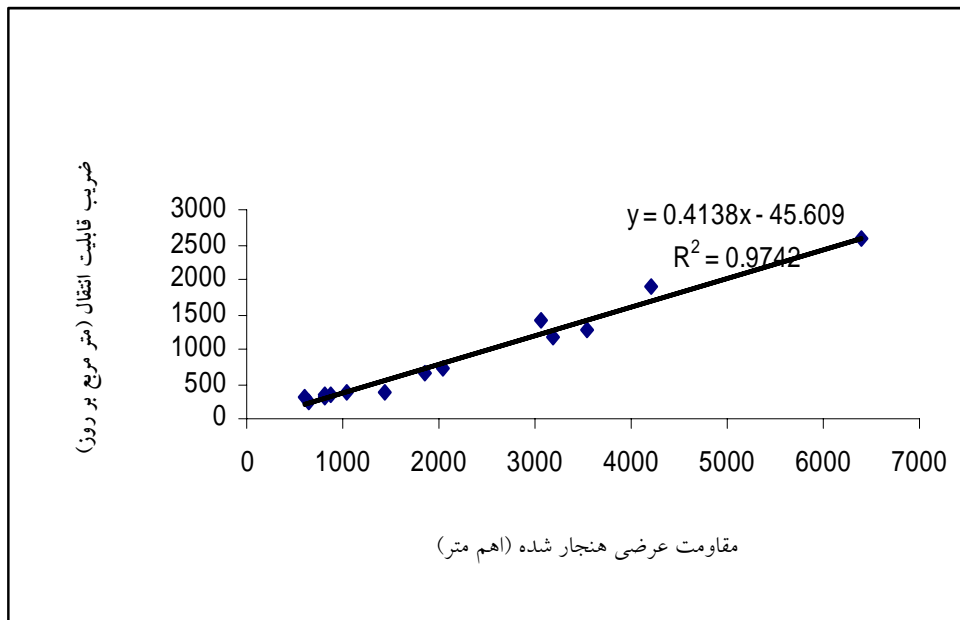
شکل ۱. موقعیت دشت تهران که در آن رشته کوه البرز حد شمالی و کوههای سه پایه، تپه‌های هزار دره و رودخانه سرخه حصار حد شرقی، کوههای بی‌بی شهربانو و ارتفاعات کهربیزک حد جنوبی، رودخانه کن حد غربی دیده می‌شود (Knill and Jones, 1968).



شکل ۲. ارتباط بین ضریب آبگذری و فاکتور سازند آبخوان دشت تهران.



شکل ۳. ارتباط بین ضریب آبگذری و مقاومت ویژه الکتریکی هنجار شده آبخوان دشت تهران.



شکل ۴. ارتباط بین ضریب قابلیت انتقال و مقاومت عرضی الکتریکی هنجار شده آبخوان دشت تهران.

زیرزمینی دشت تهران، گزارش شماره ۳۱۲۰

.۱۰۷۱۰۴

شرکت مهندسین مشاور مهاب قدس، ۱۳۵۸، طرح

مطالعات دراز مدت آب تهران، گزارش الف ۲،

گزارش شناسایی، ج. ا.

صادق، م.، ۱۳۷۲، زمین و منابع آب (آب‌های

زیرزمینی)، دانشگاه پیام نور.

گزارش پیزومترهای حفاری شده در دشت تهران-کرج،

سازمان آب منطقه‌ای تهران، امور بررسی‌های منابع

آب-گزارش شماره ۲۸/۴۱۲

موحد، ب.، ۱۳۷۸، مبانی چاه‌پیمانی، مرکز نشر دانشگاه

صنعتی امیرکبیر.

مهندیان، ع.، ۱۳۶۴، گزارش مطالعات ژئوفیزیکی دشت

تهران و کرج، دفتر مرکزی جهاد سازندگی، واحد

مهندسی آب و خاک (کمیته امور آب).

هنرمند ابراهیمی، ع.، ۱۳۶۰، محاسبه ضریب قابلیت انتقال

منابع

اداره کل آب‌های زیرزمینی، وزارت آب و برق، ۱۳۴۸

بیلان آب زیرزمینی منطقه تهران، (از ۴۵/۸/۱ تا

۴۸/۸/۱) گزارش شماره ۴۴

اداره کل آب‌های زیرزمینی، وزارت آب و برق، ۱۳۶۳

پژوهه مطالعات آب‌های زیرزمینی.

بربریان، م.، قریشی، م.، ارزنگ روش، ب.، مهاجر

اشجاعی، ا.، ۱۳۶۴، پژوهش و بررسی ژرف نو

زمین‌ساخت، لرزه زمین‌ساخت و خطر زمین‌لرزه

گسلش در گستره تهران و پیرامون، (پژوهش و

بررسی لرزه زمین‌ساخت ایران‌زمین: بخش پنجم)،

گزارش شماره ۵۶ سازمان زمین‌شناسی کشور، چاپ

اول.

سازمان آب منطقه‌ای تهران، ۱۳۷۸، طرح مطالعات

آب‌های زیرزمینی و مدل ریاضی دشت‌های تهران،

ورامین و شهریار گزارش مطالعات آب‌های

- Knill, J. L., and Jones, K. S., 1968, Groundwater conditions in greater Tehran: Q. J. Eng. Geol., **1**, 181-194.
- Rieben, E. H., 1955, The Geology of the Tehran Plain, Am. J. Sci., **253**, 617-639.
- Rieben, E. H., 1966, Geological observations on alluvial deposits in northern Iran: Geological Survey of Iran, No. **9**.
- Yadav, G. S., Abolfazli, H., 1998, Geoelectrical sounding and their relationship to hydraulic parameters in semiarid regions of jalore, northwestern India, Appl. Geophys., **39**, 35-51.
- سفره آب‌های زیرزمینی با استفاده از مطالعات پیزومتریکی و ژئوفیزیکی، نشریه فنی شماره ۴ وزارت نیرو.
- Bouwer, H., 1978, Groundwater Hydrology, international student edition.
- Hafizi, M. K., and Pashakhanlou, F. Z., 2002, Correlation between VES and Hydrogeological variables, EAGE, Florence, Italy.